

- μ : ガス粘性 (サフィックスについて同上)
 P, p : ガス圧力 (大文字: 絶対圧, 小文字: ゲージ圧)
 $P(o), p(o)$: 炉頂圧
 T, t : 溫度 (大文字, 小文字について同上)
 L : 充填層の高さ
 ΔP_t : 高炉全圧力損失 (=送風圧 - 炉頂圧)

文 献

- 1) 児玉, 斧, 彼島: 鉄と鋼, 51 (1965) 4, p. 509
- 2) 中村, 一安, 佐藤: 鉄と鋼, 43 (1957) 10, p. 1089
- 3) P. C. CARMAN: Trans. Inst. Chemical Eng. London, 15 (1937)
- 4) W. O. PHILBROOK: J. Metals, 6 (1954) 12, p. 1396
- 5) ステファノヴィッチ: 製鉄技術総覧 7 (昭37) (Stal (1960) p. 680)

622.341.1-188; 539, 215, 2169, 162, 228, 3
(29) 通気性におよぼすペレットの粒度構成の影響

(高炉の通気性に関する研究—II)

八幡製鉄、技術研究所

工博 児玉惟孝・○堀尾竹弘・肥田行博
Influence of Size Distribution of Pellet on Permeability.

(Study on permeability of blast furnace—II)

Dr. Koretaka KODAMA, Takehiro HORIO
and Yukihiro HIDA.

1. 緒 言

周知のごとく、ペレットはその形状が球形で、粒径もほぼ均一であるため、通気性の点においても高炉装入原料として好ましいものといわれている。当所において、昭和39年10月～12月にわたり、戸畠第2高炉で輸入ペレット多量使用試験操業が行なわれたが、その初期において、従来の鉱石焼結鉱混合装入時に比較して風圧が著しく上昇し、炉況の悪化が認められた。これに対し、種々の対策が講じられたが、風圧上昇の主なる原因としてペレット中に含まれる多量の粉が考えられ、-5 mm 粉除去につとめた結果、風圧は大きく低下した。

ペレット中の-5 mm 粉が通気抵抗におよぼす影響が定量的に解明されれば、操業上大いに参考となり、さらにペレットの有効操業法について知ることができる。この点を考慮し、-5 mm 粉の量と粒度構成を種々変化させ、その際の通気性を前報と同じく充填塔を用いて測定した。

Table 2. Size distribution of sample.

Sample	5~10 mm	10~15 mm	15~20 mm	Ratio of -5 mm fines to +5 mm	Arithmetical mean size	Harmonic mean size
A	20%	60%	20%	0%, 5, 10, 15	12.5 mm	11.6 mm
B	15	70	15	0%, 5, 10, 15	12.5	11.8
C	20	70	10	0%, 5, 10	12.0	11.3

2. 実験装置および実験試料

2.1 実験装置

実験装置は前報と同じく 450 mm $\phi \times 1125$ mm の鋼管充填塔である。

2.2 実験試料

戸畠第2高炉で用いた輸入ペレットの粒度構成 Table 1 を参考にし、Table 2 に示すような 3 種類の粒度構成を選んだ。この 3 種類の +5 mm の粒度構成に対し、それぞれ -5 mm を 5%, 10%, 15% 加えて試料とした。

3. 実験結果および考察

前報で述べたように、圧力損失の一般式は次式で表わされる。

$$\Delta P/L = C \cdot (1/\phi_s D_p)^{1+\beta} \cdot (1-\varepsilon)^{1+\beta} / \varepsilon^3 \cdot \mu^\beta \cdot \rho^{1-\beta} \cdot U^{2-\beta} \quad (1)$$

ただし、 ΔP : 圧力降下

 C : 常数 L : 充填塔高さ ϕ_s : 形状係数 D_p : 平均粒度 ε : 空隙率 μ : ガスの粘性 U : 空塔速度 ρ : ガスの密度

質量速度 $G = \rho \cdot U = \rho_0 \cdot U_0$ として (1) 式を変形すると (2) 式が得られる。 $(\rho_0, U_0$ はおのおの標準状態の値)

$$\Delta P/L = C \cdot (1/\phi_s D_p)^{1+\beta} \cdot (1-\varepsilon)^{1+\beta} / \varepsilon^3 \cdot \mu^\beta \cdot G^{2-\beta} \cdot \rho^{-1} \quad (2)$$

実験時の送風温度、充填塔内の圧力によって変動する μ と ρ で ΔP は補正されなければならないので (2) 式を変形すると (3) 式を得る。

$$\mu^{-\beta} \cdot \rho \cdot \Delta P/L = C \cdot (1/\phi_s D_p)^{1+\beta} \cdot (1-\varepsilon)^{1+\beta} / \varepsilon^3 \cdot G^{2-\beta} \cdot \rho^{-1} \quad (3)$$

ϕ_s, D_p, ε は各サンプルによつて定まる定数であるので、これを k とすれば、(4) 式を得る。

$$\mu^{-\beta} \cdot \rho \cdot \Delta P/L = k \cdot G^{2-\beta} \quad (4)$$

この k を通気性指数と呼ぶ。

$\log(\mu^{-\beta} \cdot \rho \cdot \Delta P/L)$ と $\log G$ の関係は各サンプルにより、Fig. 1, 2, 3 が得られ、それより $\beta = 0.3$ で直線関係があることがわかつた。この値は精鉱について測定した前報の値ともほぼ一致し、妥当であることが確かめられる。

この結果より通気性指数 k を求め +5 mm に対する -5

Table 1. Size distribution of imported pellet charged into Tabata No. 2 B. F. (%).

	mm	-5	5~10	10~15	15~25
No screened		7.5	16.2	60.0	16.3
Screened		1.5	15.2	69.1	14.2

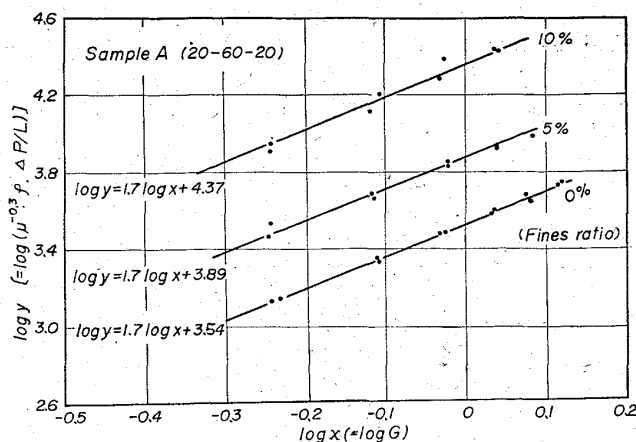


Fig. 1. Relations between superficial mass velocity (G) and rectified pressure drop ($\mu^{-0.3} \rho \cdot \Delta P/L$) (1)

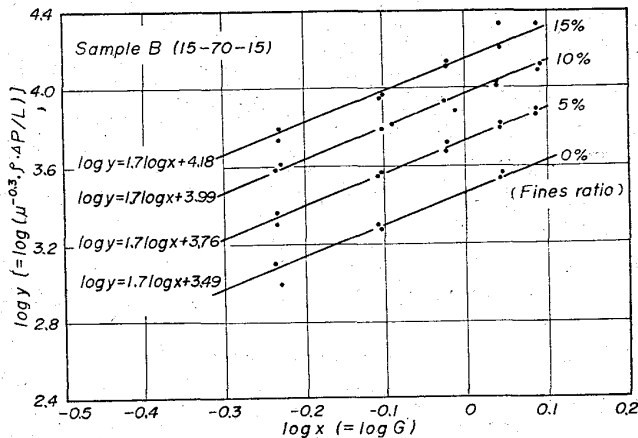


Fig. 2. Relations between superficial mass velocity (G) and rectified pressure drop ($\mu^{-0.3} \rho \cdot \Delta P/L$) (2)

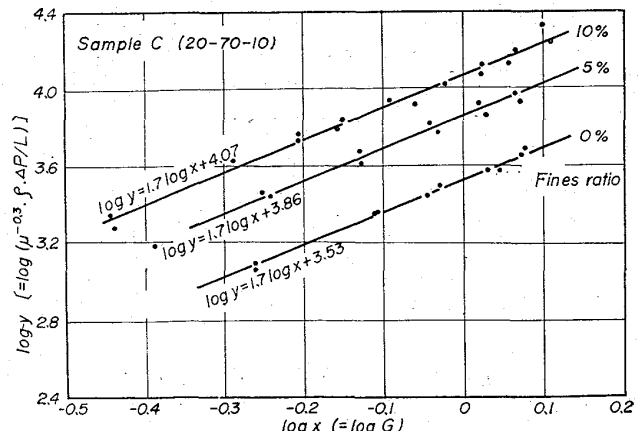


Fig. 3. Relations between superficial mass velocity (G) and rectified pressure drop ($\mu^{-0.3} \rho \cdot \Delta P/L$) (3)

mmの粉率Fとの関係をFig. 4に示す。

この図より粒度構成および粉率の影響、他鉱石との比較について検討する。

3.1 粒度構成と通気性

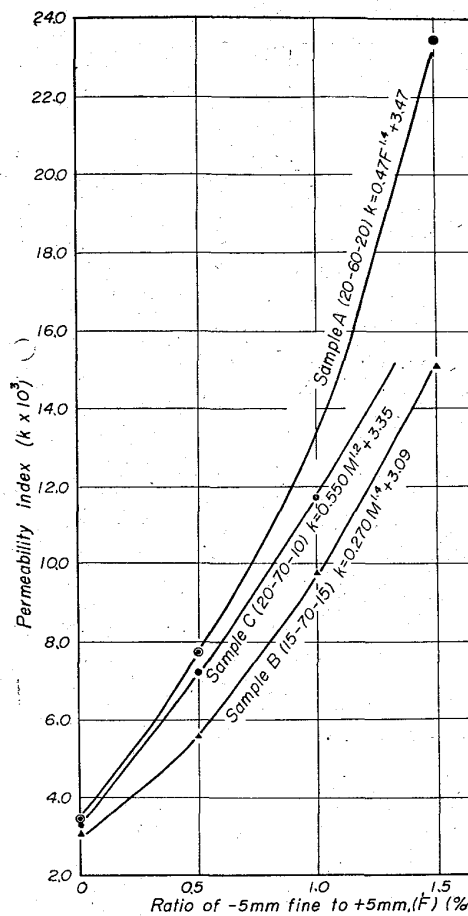


Fig. 4. Relations between permeability index and fines ratio.

サンプルAとBは従来行なわれている平均粒度の表わし方では、粉率0%ではともに12.5 mmで相等しいが通気性指数Kを比較すると、サンプルAの方がかなり大きく、通気性が悪い。これは粒度分布図で表わした場合、サンプルAはBに比較して山が低く、大粒、小粒とともに多く存在する。したがつて、より密に充填されることより説明できる。

このことから、単に平均粒度よりその装入物の通気性をみるとことは算術平均では不適当であるといえる。

サンプルBとCを比較すると、粒度構成は中間粒度(10~15 mm)が同一量で、サンプルCは小粒の割合が大粒よりも多い。これは小粒が多いと通気性が悪いということを示している。

試料を調和平均粒度の大きい順序にならべると、B, A, Cとなり、また通気性の良好なものから順にならべるとB, C, Aとなり、調和平均粒度でも通気性とは必ずしも一致しなかつた。

この点に関し、ボイドの変化、粉の粒度などの影響であるか、あるいは表示法の問題であるか、今後の検討が必要である。

3.2 粉率と通気性

Fig. 4より明らかであるように、-5 mmが通気性におよぼす影響は、従来からいわれているようにかなり大きなものである。この+5 mmに対する-5 mmの割合をFとし、Fとkの関係は $k = aF^\alpha + b$ で表わすと、 $\alpha =$

